

# ЧАСТОТНАЯ РЕЖЕКЦИЯ ПОМЕХ В РЛС С КВАЗИНПЕРЫВНЫМ РЕЖИМОМ ИЗЛУЧЕНИЯ И ПРИЕМА СИГНАЛОВ С ДВУХРОВНЕВОЙ НЕРЕГУЛЯРНОЙ СТРУКТУРОЙ СПЕКТРА

И.Н.Жукова, С.Д.Чеботарев

## FREQUENCY INTERFERENCE REJECTION IN RADAR SYSTEMS WITH QUASICONTINUOUS MODE OF TRANSMISSION AND RECEPTION OF SIGNALS WITH NONREGULAR TWO-LEVEL ENERGY SPECTRUM

I.N.Zhukova, S.D.Chebotarev

*Институт электронных и информационных систем НовГУ, Irina.Zhukova@novsu.ru*

Исследуется метод частотной режекции помех, распределенных по задержке и локализованных в узком диапазоне доплеровских сдвигов частоты, с применением сигналов с псевдослучайным законом амплитудной манипуляции, многопозиционной фазовой манипуляцией и двухровневой нерегулярной структурой огибающей спектра.

**Ключевые слова:** радиолокационные системы, сложные сигналы, квазинпрерывный режим, частотная режекция, доплеровский сдвиг частоты

This paper considers the method of frequency interference rejection of time-distributed clutter with narrow Doppler frequency shift. It supposes the usage of signals with pseudorandom amplitude-shift keying, multiple phase-shift keying, and nonregular two-level energy spectrum envelope.

**Keywords:** radar systems, wideband signals, quasicontinuous mode, frequency interference rejection, Doppler frequency shift

### Введение

В радиолокационных станциях с квазинпрерывным режимом излучения и приема амплитудно-фазоманипулированных сигналов большой длительности и малой средней скважности селекция движущейся цели (СДЦ) достигается фильтрацией сигнала в заданной доплеровской полосе частот [1]. Эффективность СДЦ повышается с увеличением базы сигнала.

На практике неограниченное повышение базы сигнала невозможно. Длительность зондирующего сигнала ограничивается временем контакта с целью. Кроме того, скорость движения цели предопределяет разрешающую способность сигнала по задержке, поскольку за время когерентного накопления сигнала цель не должна мигрировать из одного элемента дальности в другой.

В условиях ограничений базы сигнала необходимы законы модуляции и методы обработки, способные в РЛС с квазинпрерывным режимом излучения и приема решать задачу селекции скоростных целей на фоне интенсивных отражений от подстилающей поверхности.

Известны [2-4] методы синтеза непрерывных радиосигналов с многопозиционной фазовой манипуляцией и огибающей энергетического спектра с компонентами высокой и низкой интенсивности. Доплеровское смещение частоты между обнаруживаемым сигналом и пассивной помехой приводит к смещению их спектров и частичному «перекрытию» спектральных компонент с высокой интенсивностью. При частотной режекции спектральные компоненты высокой интенсивности пассивных помех вырезаются. В результате при небольших потерях энергии полезного

сигнала значительно снижается энергия мешающих отражений. Отношение «сигнал/(шум+помеха)» повышается. Остаточный уровень помех из-за наличия спектральных компонент с низкой интенсивностью ограничивает рост отношения «сигнал/(шум+помеха)».

Псевдослучайная амплитудная манипуляция сигнала с многопозиционной фазовой манипуляцией и двухровневой огибающей энергетического спектра, а также коммутация приемопередающего тракта РЛС, обеспечивающая прием эхо-сигналов в паузах излучения, разрушает форму спектра исходного сигнала.

В статье предлагается итерационный метод синтеза амплитудно-фазоманипулированных сигналов с двухровневой нерегулярной структурой огибающей энергетического спектра. Оценивается изменение отношения «сигнал/(шум+помеха)» после частотной режекции помех.

### Итерационный алгоритм синтеза сигналов с псевдослучайным законом амплитудной манипуляции, многопозиционной фазовой манипуляцией и двухровневой псевдослучайной огибающей энергетического спектра

Пусть закон амплитудно-фазовой манипуляции синтезируемого сигнала описывается дискретной комплексной последовательностью

$$\dot{z}_n = x_{n/k_x} \exp(j \cdot \phi_n), \quad n=0 \dots N-1. \quad (1)$$

В выражении (1) двоичная последовательность  $x_i \in \{1,0\}$ ,  $i=0 \dots N_x-1$  произвольной структуры со средней скважностью  $Q_x$  определяет закон следования фазоманипулированных импульсов длиной  $k_x$ ,  $N=k_x N_x$ . Дискретная последовательность  $\phi_n \in [-\pi, \pi]$ ,  $n=0 \dots N-1$  определяет закон изменения фазы.

Динамический диапазон среднеквадратических уровней амплитудного спектра

$$|\dot{Z}_k| = \left| \sum_{n=0}^{N-1} \dot{z}_n \exp(-j2\pi nk/N) \right|$$

оценивается выражением

$$\eta = \sqrt{\frac{\sum_{k=0}^{N-1} (1-b_{k/k_b}) \sum_{k=0}^{N-1} (b_{k/k_b} |\dot{Z}_k|^2)}{\sum_{k=0}^{N-1} b_{k/k_b} \sum_{k=0}^{N-1} ((1-b_{k/k_b}) |\dot{Z}_k|^2)}} = \sqrt{\frac{\sum_{k=0}^{N-1} (b_{k/k_b} |\dot{Z}_k|^2)}{(Q_b - 1) \sum_{k=0}^{N-1} ((1-b_{k/k_b}) |\dot{Z}_k|^2)}}, \quad (2)$$

где  $b_j \in \{1, 0\}$ ,  $j=0 \dots N_b - 1$  — псевдослучайная двоичная последовательность средней скважностью  $Q_b$  и длиной  $N_b = N/k_b$ , задающая двухуровневую форму спектра сигнала. Параметр  $k_b$  определяет ширину спектральных компонент с высокой и низкой интенсивностью, т.е. число соседних спектральных отсчетов с близким по значению уровнем модуля спектральной плотности синтезируемого сигнала.

Последовательность  $\dot{z}_n$  с формой спектра, определяемой последовательностью  $b_j$ , синтезируется итерационной процедурой с числом итераций  $L$ .

На момент инициализации алгоритма синтеза устанавливаются случайные значения фаз  $\varphi_n$  последовательности  $\dot{z}_n$ .

Огибающая спектра  $|\dot{Z}_k|$  исходной последовательности  $\dot{z}_n$  обладает некоторой начальной формой, отличной от закона изменения последовательности  $b_{k/k_b}$ . Приближения  $|\dot{Z}_k|$  к желаемому виду достигается преобразованием

$$\dot{Y}_k = b_{k/k_b} \dot{Z}_k. \quad (3)$$

Обратное преобразование Фурье над  $\dot{Y}_k$  определяет новую последовательность

$$\dot{y}_n = \frac{1}{N} \sum_{k=0}^{N-1} \dot{Y}_k \exp(j2\pi kn/N). \quad (4)$$

Поскольку амплитуда синтезируемого сигнала должна изменяться по закону последовательности  $x_i$ , возьмем из  $\dot{y}_n$  лишь информацию о фазе, игнорируя данные о ее модуле

$$\dot{z}_n = x_{n/k_x} \exp[j \cdot \arg(\dot{y}_n)]. \quad (5)$$

Амплитудная манипуляция в (5) по закону  $x_{n/k_x}$  искажает форму огибающей амплитудного спектра. Поэтому вычисления по выражениям (3)-(5) необходимо многократно повторять. По окончанию  $L$  итераций производится квантование фазы синтезированного сигнала на заданное число уровней.

Приведем пример синтеза. Закон следования импульсов будем определять последовательностью

$$x_i = \begin{cases} 1, & d_i = 0 \\ 0, & d_i \neq 0 \end{cases}$$

где  $d_i$  — код Зингера, построенный на основе первообразного неприводимого полинома  $f(x) = 1 + x^2 + 4x^3$  над полем Галуа  $GF(5)$ . Отметим, что двоичная последовательность  $x_i$  с параметрами  $N_x = 31$ ,  $Q_x = 5$  обладает корреляционной функцией с

постоянным уровнем боковых лепестков, что позволяет уменьшить амплитудную модуляцию на этапе вычисления  $\dot{y}_n$  и получить  $\dot{z}_n$  с большим значением  $\eta$ .

Закон изменения уровней огибающей энергетического спектра также зададим преобразованным к двоичному виду кодом Зингера, построенным на основе полинома  $f(x) = 1 + 2x + 2x^2 + x^3 + 2x^4$  над полем Галуа  $GF(3)$ . Двоичная последовательность  $b_j$  имеет параметры  $N_b = 40$ ,  $Q_b = 3$ . Примем длину синтезируемого сигнала равной  $N = 2N_b N_x = 2480$ . Тогда  $k_x = 80$ ,  $k_b = 62$ . Установим 32 уровня квантования фазы.

Изменение фазы  $\varphi_n$  синтезированного сигнала представлено на рис.1.

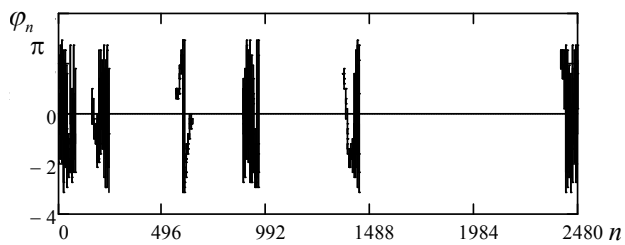


Рис.1. Последовательность фаз  $\varphi_n$  синтезированного сигнала

Амплитудный спектр сигнала (диаграмма 1 на рис.2) обладает двухуровневой структурой огибающей с  $\eta = 18,1$  дБ. Изменение огибающей полностью совпадает с законом изменения последовательности (диаграмма 2 на рис.2).

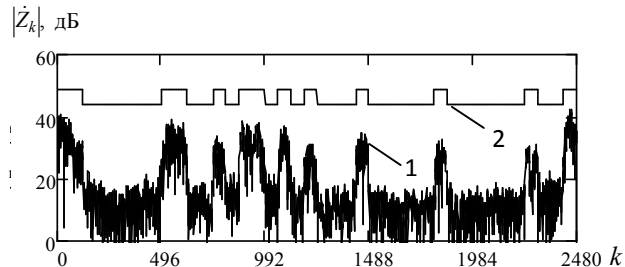


Рис.2. Амплитудный спектр последовательности  $\dot{z}_n$  (кривая 1) и последовательность  $b_{k/k_b}$  (кривая 2), задающая его форму

Нормированная периодическая частотно-временная корреляционная функция синтезированной кодовой последовательности,

$$\chi_{m,v} = \frac{1}{\|z\|^2} \sum_{n=0}^{N-1} \dot{z}_n \dot{z}_{n-m}^* \exp\left(-j \frac{2\pi}{N} nv\right), \quad \text{где } \|z\|^2 = \sum_{n=0}^{N-1} |\dot{z}_n|^2$$

— «энергия» последовательности  $\dot{z}_n$  за период  $N$ , представлена на рис.3. Функция  $\chi_{m,v}$  обладает кноточной формой. Среднеквадратический уровень боковых лепестков  $\chi_{m,v}$  в плоскости «задержка-частота» составляет  $1/\sqrt{N}$  и для рассматриваемой в примере синтезированной последовательности длиной  $N = 2480$  равен  $-33,9$  дБ.

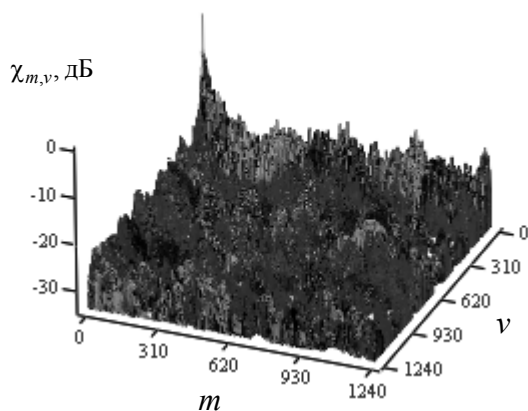


Рис.3. Функция неопределенности

### Оценка изменения отношения «сигнал/(шум+помех)» при корреляционной обработке с частотной режекцией помех

Рассмотрим выделение полезного сигнала, описываемого отсчетами комплексной огибающей  $\dot{u}_i = a_u z_{i-m_u} \exp[j(2\pi i v_u / N + \varphi_u)]$  с амплитудой  $a_u$ , сдвигом по задержке  $m_u$ , доплеровской частоте  $v_u$ , начальной фазой  $\varphi_u$ , из аддитивной смеси  $\dot{s}_i = \dot{u}_i + \dot{\xi}_i + \dot{\eta}_i$ , где  $\dot{\xi}_i = \sum_{c=1}^C a_c z_{i-m_c} \exp[j(2\pi i v_\xi / N + \varphi_c)]$  — отсчеты комплексной огибающей линейной смеси  $C$  сигналов с амплитудами  $a_c$ , дискретными задержками  $m_c$ ,  $c=1..C$ , нормированным доплеровским сдвигом частоты  $v_\xi \neq v_u$ , случайными начальными фазами  $\varphi_c$ , равномерно распределенными в диапазоне  $[0, 2\pi]$ ;  $\dot{\eta}_i$  — отсчеты шума.

Обработка сигналов с частотной режекцией помех ведется многоканальным по задержке  $m$  и временному сдвигу частоты  $v$  устройством обработки и описывается, согласно [4], функцией отклика

$$R_{m,v} = \left| \sum_{k=0}^{N-1} \dot{S}_k \dot{Z}_{k-v}^* (1 - b_{(k-v)/k_b}) \exp(j 2\pi k m / N) \right|, \quad v \neq v, \quad (6)$$

где  $\dot{Z}_k$  — спектр опорного сигнала,  $\dot{S}_k = \sum_{n=0}^{N-1} \dot{s}_n (1 - x_{n/k_x}) \exp(-j 2\pi n k / N)$  — спектр сигнала

после коммутации в приемном тракте.

Изменение энергии аддитивной смеси  $\dot{s}_i$  при выполнении частотной режекции отражает отношение

$$\mu = \frac{\sum_{k=0}^{N-1} |\dot{S}_k|^2}{\sum_{k=0}^{N-1} (1 - b_{(k-v)/k_b}) |\dot{S}_k|^2} = 1 + \frac{\eta_S^2}{Q_b - 1}, \quad (7)$$

где  $\eta_S = \sqrt{\frac{\sum_{k=0}^{N-1} (b_{k/k_b} |\dot{S}_k|^2)}{(Q_b - 1) \sum_{k=0}^{N-1} (1 - b_{k/k_b}) |\dot{S}_k|^2}}$  — динамический

диапазон уровней спектральных компонент  $|\dot{S}_k|$ .

Величина  $\sqrt{\mu}$  характеризует снижение среднеквадратического значения  $R_{m,v}$ . Изменение  $\mu$  в зависимости от  $Q_b$  для разных значений  $\eta_s$  представлено на рис.4.

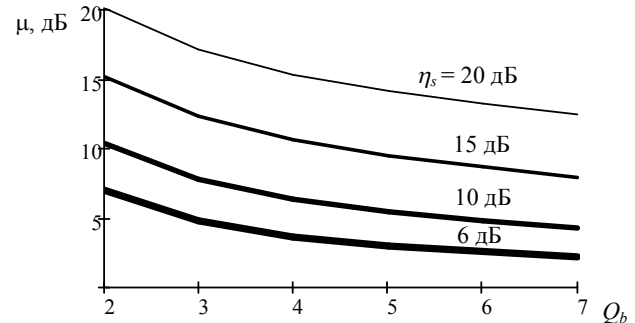


Рис.4. Величина снижения среднеквадратического значения функции отклика в зависимости от скважности последовательности, задающей форму спектра сигнала

Потери энергии полезного сигнала  $\dot{u}_i$  при выполнении частотной режекции определяются отношением

$$\rho = \frac{\sum_{k=0}^{N-1} (1 - b_{(k-v)/k_b}) |\dot{U}_k|^2}{\sum_{k=0}^{N-1} |\dot{U}_k|^2}. \quad (8)$$

Анализируя вероятность совпадения спектральных компонент  $|\dot{U}_k|$  полезного сигнала со значениями  $b_{(k-v)/k_b} = 0$ , можно показать, что потери энергии полезного сигнала при частотной режекции зависят от средней скважности  $Q_b$  последовательности  $b_{k/k_b}$  и определяются  $\rho = 1 - 1/Q_b$ . Изменение отношения «сигнал/(шум+помех)» после частотной режекции оценивается произведением  $(\rho \sqrt{\mu})$ . Изменение  $(\rho \sqrt{\mu})$  в зависимости от  $Q_b$  для разных значений  $\eta_s$  представлено на рис.5.

Характер изменения  $\rho \sqrt{\mu}$  в зависимости от  $Q_b$  при разных значениях  $\eta_s$  показывает, что изначально высокий динамический диапазон уровней компонент в спектре обрабатываемого сигнала позволяет обеспечить наибольшую эффективность частотной режекции. При этом с ростом  $Q_b$  выигрыш в отношении «сигнал/(шум+помех)» при частотной режекции помех снижается.

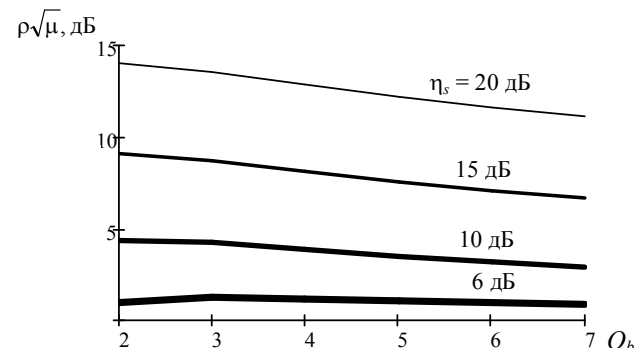


Рис.5. Выигрыш в отношении «сигнал/(шум+помех)» при частотной режекции помех

Проверим справедливость оценки выигрыша в отношении «сигнал/(шум+помеха)» при частотной режекции помех на примере выделения полезного сигнала с параметрами  $m_u = 500$  и  $v_u = 248$  из аддитивной смеси  $C = 80$  помех с параметрами  $a_c = 1$ ,  $m_c = 450 \dots 529$ ,  $v_c = 0$ . Пусть мощность полезного сигнала на 18 дБ ниже суммарной мощности помех, а мощность шума в полосе сигнала пре-небрежимо мала. Отметим, что полезный сигнал и сигналы помех полностью перекрываются по времени и отличаются лишь доплеровским сдвигом частоты.

Амплитудные спектры сигналов  $\hat{s}_i$  и  $\hat{u}_i$ , вычисленные после выполнения коммутации в приемном тракте, представлены на рис.6.

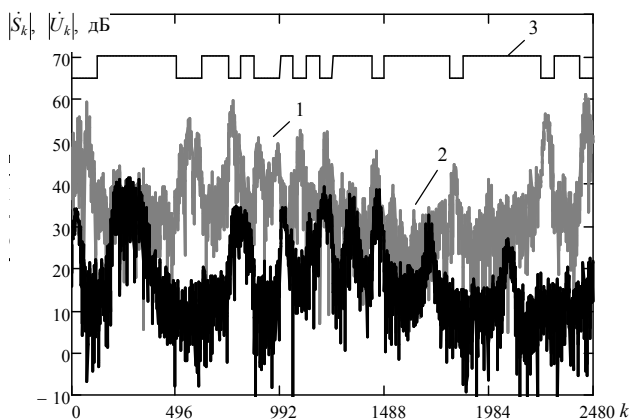


Рис.6. Сопоставление амплитудных спектров аддитивной смеси отражений (кривая 1) и полезного сигнала (кривая 2) после коммутации в приемном тракте с последовательностью (кривая 3), определяющей закон частотной режекции

Из сопоставления спектром аддитивной смеси (кривая 1 на рис.6) и полезного сигнала (кривая 2 на рис.6) видно, что у полезного сигнала спек-

тральные компоненты высокого уровня сопоставимы по величине со спектральными компонентами аддитивной смеси низкого уровня. Следует отметить, что динамический диапазон в спектре  $|\dot{S}_k|$  снизился после коммутации в приемном тракте РЛС до 15,5 дБ. Данное значение определяет эффективность дальнейшей временной режекции по закону последовательности, отображеной на рис.6 кривой 3.

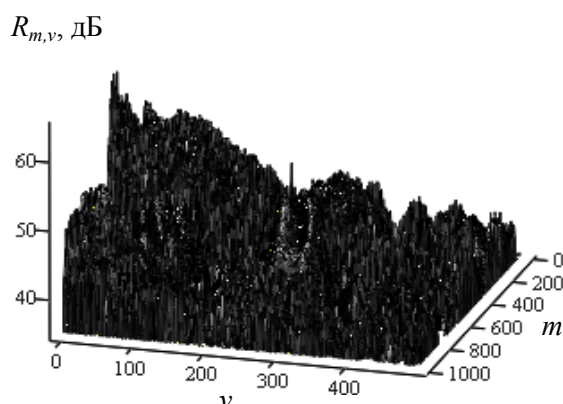
В отсутствии частотной режекции вероятность обнаружения полезного сигнала мала. Отношение «сигнал/(шум+помеха)» составляет всего 12,5 дБ. Изменение уровня сигнала на выходе многоканального устройства обработки, отражаемое функцией отклика  $R_{m,v}$ , представлено на рис.7а.

При выполнении частотной режекции (функция отклика представлена на рис.7б) среднеквадратическое значение  $R_{m,v}$  снизилось на 11,7 дБ, что полностью соответствует оценке (8). Потери энергии полезного сигнала составили 3,4 дБ. Отношение «сигнал/(шум+помеха)» возросло на 8,3 дБ, достигнув значения 20,8 дБ, что полностью совпало с оценкой  $\rho\sqrt{\mu}$  (см. рис.5).

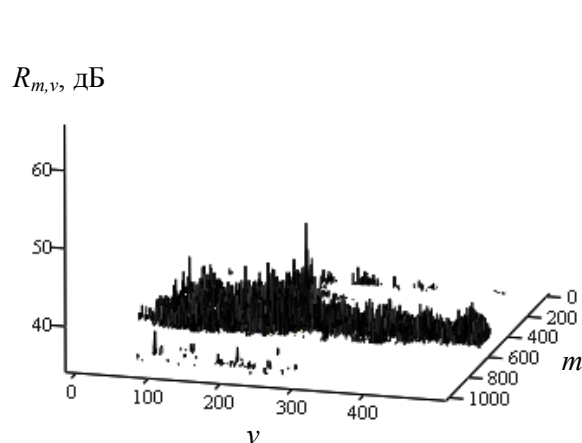
## Выходы

Предложенный метод синтеза амплитудно-фазоманипулированных сигналов с двухуровневой псевдослучайной формой огибающей энергетического спектра позволяет применить метод частотной режекции помех, распределенных по задержке и локализованных в узком диапазоне доплеровских сдвигов частоты. Полученные оценки изменения отношения «сигнал/(шум+помеха)» позволяют оценить эффективность частотной режекции помех в РЛС с квазинепрерывным режимом излучения и приема сигналов.

*Исследования выполнены в рамках выполнения госзадания Минобрнауки.*



а)



б)

Рис.7. Функция отклика: а) без частотной режекции; б) с частотной режекцией

1. Гантмахер В.Е., Быстров Н.Е., Чеботарев Д.В. Шумоподобные сигналы. Анализ, синтез, обработка. СПб.: Наука и техника, 2005. 400 с.
2. Быстров Н.Е., Жукова И.Н., Чеботарев С.Д. Синтез сложных сигналов с квазинепрерывным энергетическим спектром // Изв. вузов России. Радиоэлектроника. 2012. Вып.2. С.37-43.
3. Быстров Н.Е., Чеботарев С.Д. Итерационный алгоритм синтеза сигналов с квазинепрерывным спектром // Вестник НовГУ. Сер.: Техн. науки. 2014. №81. С.4-6.
4. Быстров Н.Е., Чеботарев С.Д. Анализ и синтез сигналов с квазинепрерывным спектром // Успехи современной радиоэлектроники. 2014. № 3. С.72-75.

**References**

1. Gantmakher V.E., Bystrov N.E., Chebotarev D.V. Shumopodobnye signaly. Analiz, sintez, obrabotka [Spread-spectrum signals. Analysis, synthesis and processing]. St. Petersburg, "Nauka i tekhnika" Publ., 2005. 400 p.
2. Bystrov N.E., Zhukova I.N., Chebotarev S.D. Sintez slozhnykh signalov s kvazinepreryvnym energeticheskim spektrom [Synthesis of wideband signals with quasicontinuous energy spectrum]. Izvestiya vuzov Rossii. Radioelektronika, 2012, iss. 2, pp. 37- 43.
3. Bystrov N.E., Chebotarev S.D. Iteratsionnyi algoritm sinteza signalov s kvazinepreryvnym spektrom [Iterative algorithm of quasicontinuous energy spectrum signals synthesis]. Vestnik NovGU. Ser. Tekhnicheskie nauki – Vestnik NovSU. Issue: Engineering Sciences, 2014, no. 81, pp. 4-6.
4. Bystrov N.E., Chebotarev S.D. Analiz i sintez signalov s kvazinepreryvnym spektrom [Analysis and synthesis of quasicontinuous spectrum signals]. Uspekhi sovremennoi radioelektroniki – Achievements of Modern Radioelectronics, 2014, no. 3, pp. 72- 75.